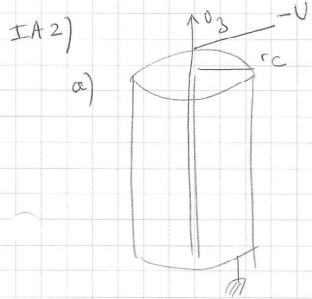


CORRECTION Traitement des fumées industrielles par un électrofiltre (Centrale PSI 2017) (1)

I

IA1)  $\Delta V + \frac{\rho}{\epsilon_0} = 0 \Rightarrow \Delta V = 0$  équation de Laplace



On néglige les effets de bord  $\Rightarrow$  la source du champ électrique admet une symétrie cylindrique (est invariante par translation //  $(Oz)$  et par rotation %  $(Oz)$ )

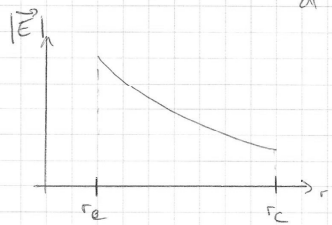
On choisit le système de coordonnées cylindriques d'axe  $(Oz)$   
On en déduit donc  $V(r) = V(r)$

$$\Delta V = \frac{1}{r} \frac{d}{dr} \left( r \frac{dV}{dr} \right) = 0 \Rightarrow r \frac{dV}{dr} = A \Leftrightarrow \frac{dV}{dr} = \frac{A}{r}$$

$$\Rightarrow V(r) = A \ln r + B$$

$$\begin{cases} V(r_c) = -U \\ V(a) = 0 \end{cases} \rightarrow V(r) = -U \frac{\ln r/a}{\ln r_c/a}$$

b)  $\vec{E} = -\text{grad } V = -\frac{dV}{dr} \vec{u}_r = + \frac{1}{r} \frac{U}{\ln r_c/a} \vec{u}_r$  (dirigé suivant  $-\vec{u}_r$  car  $r_c > r$ )



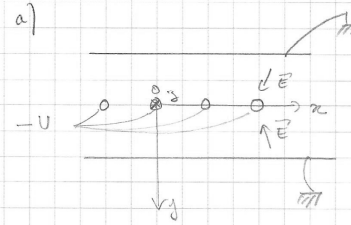
Au maximum  $E = \frac{U}{r_c} \frac{1}{|\ln r_c/a|}$

Pour  $E = E_0$  il vient  $U = U_0 = E_0 r_c \ln \frac{r_c}{a}$

c) AN  $U_0 = 4,4 \cdot 10^6 \times 1,25 \cdot 10^{-3} \ln \left( \frac{1,25}{150} \right)^{-1} = + 2,6 \cdot 10^4 \text{ V} \quad (2 \text{ cs})$   
 $U_0 = + 26 \text{ kV}$

IA3)

$$V(x, y, z) = \frac{U}{\Lambda} \sum_{m=-\infty}^{+\infty} \ln \left( \frac{\text{ch} \left( \frac{\pi(x-2md)}{2s} \right) - \cos \left( \frac{\pi y}{2s} \right)}{\text{ch} \left( \frac{\pi(x-2md)}{2s} \right) + \cos \left( \frac{\pi y}{2s} \right)} \right) \quad (1)$$



Le plan  $\pi = (Oxz)$  est plan de symétrie pour la source du champ donc plan de symétrie pour  $V$ .

D'où  $V(x, y, z) = V(x, -y, z)$ , ceci est

bien cohérent avec l'expression (1)

$y \rightarrow V(x, y, z)$  est une fonction paire

• Si on néglige les effets de bord, il y a invariance de la source par translation //  $(Oz)$ . D'où  $V(x, y, z) = V(x, y)$ , ce qui est à confirmer à (1).

• Il y a également invariance par translation //  $(Ox)$  de  $2d$  de la source. donc  $V(x, y, z)$  doit également être invariant par cette transformation :

$V(x+2d, y) = V(x, y)$ , ce qui est vérifié par (1) (la somme portant sur  $m: -\infty \rightarrow \infty$ )

• La présence de collectrices impose :  $V(x, \pm s) = 0 \quad \forall x$

$$\Leftrightarrow \frac{U}{\Lambda} \sum_{m=-\infty}^{+\infty} \ln \left( \frac{\text{ch} \left( \frac{\pi(x-2md)}{2s} \right) - 0}{\text{ch} \left( \frac{\pi(x-2md)}{2s} \right) + 0} \right) = 0, \text{ bien vérifié}$$

• La présence de l'électrode impose  $V(r_c, 0) = -U = (0, r_c)$

$$\Leftrightarrow \frac{U}{\Lambda} \sum_{m=-\infty}^{+\infty} \ln \left[ \frac{\text{ch} \frac{\pi(r_c-2md)}{2s} - 1}{\text{ch} \frac{\pi(r_c-2md)}{2s} + 1} \right] = -U$$

(3)

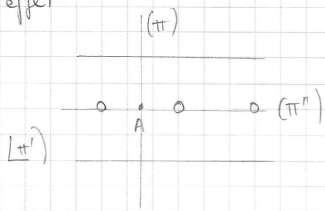
$$\Rightarrow \boxed{\lambda = \sum_{m=-\infty}^{+\infty} \ln \left( \frac{1 + ch X}{ch X - 1} \right)} \quad \text{avec } X = \frac{\pi}{2s} (rc - 2md)$$

b) Les lignes de champ sont perpendiculaires aux surfaces équipotentielles et orientées dans le sens des potentiels décroissants (on suppose  $U > 0$ )

Les zones de fort champ se situent là où les lignes de champs sont plus resserrées (puisque l'on suppose  $\text{div } \vec{E} = 0$ ), au niveau de l'émettrice.

Le champ électrique s'annule aux endroits où les lignes de champ se croisent (sur le graphique aux points A et B)

En effet



les plans  $(\pi) = (Axz)$  et  $(\pi') = (Ayz)$  sont des plans de symétrie de  $\rho$  et de  $\vec{E}$ :  
 $\vec{E}$  appartient donc à leur intersection:  $\vec{E} = \vec{0}$  par conséquent.

c) Pour provoquer l'ionisation près de l'émettrice, on veut que le champ électrique au niveau de la surface émettrice soit égal à  $E_0$ .

Or en  $(x=0, y=r, z=0)$ ,  $\vec{E} \parallel (Oy)$  donc  $|\vec{E}(0, r, 0)| = |E_y(0, r, 0)|$

$$\text{en } y = \frac{rc}{s} \quad \frac{E_y}{U/s} = 22 = \frac{E_0}{U_0/s}$$

$$\Rightarrow \boxed{U_0 = \frac{E_0 s}{22}} \quad \text{ce n'est pas vraiment une formule littérale}$$

$$\text{AN: } U_0 = 4,4 \cdot 10^6 \times 150 \cdot 10^{-3} \cdot \frac{1}{22} = \underline{30 \text{ kV}}$$

(4)

On obtient le même ordre de grandeur pour  $U_0$  pour les deux types d'électrodes.

± B.

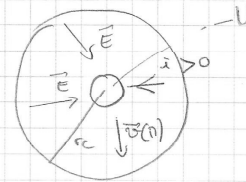
$$1) \quad e(r) \quad j(r) \quad \vec{v}(r) = -b \vec{E}(r)$$

La vitesse des anions est suivant  $-b E_r \vec{u}_r$  et donc suivant  $+\vec{e}_r$  puisque  $\vec{E}$  est dirigé suivant  $-\vec{e}_r$  (si  $U > 0$ )

Les anions ayant une charge négative  $\vec{j}(r) = e(r) \vec{v}(r)$  est suivant  $-\vec{u}_r$ : le courant  $i > 0$  circule donc de l'électrode collectrice à l'électrode émettrice.

$$\vec{j}(r) = -e(r) b \vec{E}(r)$$

$$\text{d'où } \boxed{j = -e b E}$$



$$2) \quad -i = - \int \vec{j} \cdot d\vec{S} = \int dS \vec{u}_z \cdot (-e b E \vec{u}_z) \Rightarrow \underline{i = e b E 2\pi r h}$$

cylindre rayon r hauteur h

on suppose que  $e$  et  $E$  ne dépendent que de  $r$  (symétrie cylindrique)

$$\Rightarrow \boxed{e = \frac{i}{b E 2\pi r h}}$$

2) Il s'agit de l'équation de Maxwell-Gauss qui relie la source au champ  $\vec{E}$ :  
 $\text{div } \vec{E} = \rho / \epsilon_0$

or ici, comme il y a symétrie cylindrique (même en présence du courant),  $\vec{E}(r) = E(r) \vec{u}_r$ . En effet les plans  $(\pi, \vec{u}_r, \vec{u}_\theta)$  et  $(\pi, \vec{u}_r, \vec{u}_z)$  sont plans de symétrie des électrodes et donc de  $\vec{E}$  et

5

$\vec{E}(r)$  appartient à leur intersection :  $\vec{E}(r) \parallel \vec{ur}$

Ainsi :  $\text{div} \vec{E} = \frac{1}{r} \frac{\partial}{\partial r} (rE) = \frac{1}{r} \frac{d}{dr} (rE) = \frac{\rho}{\epsilon_0} = \frac{1}{\epsilon_0} \frac{i}{bE2\pi r h}$

$\Rightarrow E \frac{d}{dr} (rE) = \frac{i}{\epsilon_0 b 2\pi r h}$

D'où  $\boxed{rE \frac{d}{dr} (rE) = \frac{i r}{\epsilon_0 b 2\pi h}}$

4) On intègre l'expression précédente entre  $r_0$  et  $r$  :

$\int_{r_0}^r rE \frac{d}{dr} (rE) dr = \int_{r_0}^r \frac{i r dr}{\epsilon_0 b 2\pi h} = \frac{i}{\epsilon_0 2\pi b h} \frac{r^2 - r_0^2}{2}$

$\frac{1}{2} \frac{d}{dr} (rE)^2 = \frac{1}{2} (r^2 E^2 - r_0^2 E_0^2)$

$\Rightarrow E^2 = \left( \frac{i}{\epsilon_0 2\pi b h} (r^2 - r_0^2) + r_0^2 E_0^2 \right) \cdot \frac{1}{r^2}$

$\Rightarrow \boxed{E(r) = -\frac{1}{r} \left( \frac{i}{\epsilon_0 2\pi b h} (r^2 - r_0^2) + r_0^2 E_0^2 \right)^{1/2}}$

5) si  $r \rightarrow \infty$   $E(r) \approx -\frac{1}{r} \sqrt{\frac{i}{\epsilon_0 2\pi b h}} r = -\sqrt{\frac{i}{\epsilon_0 2\pi b h}}$

ANS  $E = \left( \frac{1}{8,85 \cdot 10^{-12} \cdot 2\pi \cdot 3,1 \cdot 10^{-4}} \cdot 0,70 \cdot 10^{-3} \right)^{1/2} = 2,0 \cdot 10^5 \text{ V/m}$

6)  $\vec{v}(n) = -b \vec{E}(r) \Rightarrow \boxed{v(r) = -bE}$  ANS  $v = 62 \text{ m/s}$

en  $r = r_c$   $\boxed{e = \frac{i}{h} \frac{1}{bE} \frac{1}{2\pi r_c}}$  ANS  $e = -0,70 \cdot 10^{-3} \cdot \frac{1}{62} \cdot \frac{1}{2\pi} \cdot (1,50 \cdot 10^{-3})^{-1}$   
 $e = -1,2 \cdot 10^{-5} \text{ C/m}^3$

6

$n(r=r_c) = -\frac{\rho(r)}{e}$  ANS  $n = \frac{+1,2 \cdot 10^{-5}}{1,6 \cdot 10^{-19}} = -7,5 \cdot 10^{13} \text{ ions/m}^3$   
 $= \underline{7,5 \cdot 10^7 \text{ ions/cm}^3}$

III  $\vec{EE} = E \vec{u}_j + E \frac{\epsilon_r - 1}{\epsilon_r + 2} \frac{a^3}{r^3} (2 \cos \theta \vec{ur} + \sin \theta \vec{u}_\theta) + \vec{E}_i$   
créé par particule sphérique  $Q(r)$  seule

IIA4

a) Loin de la sphère  $\vec{E}_p \rightarrow \vec{0}$  et  $\vec{EE} \sim E \vec{u}_j$ . On peut donc

orienter les lignes de champ grâce à cette information (en indiquant l'axe (03))

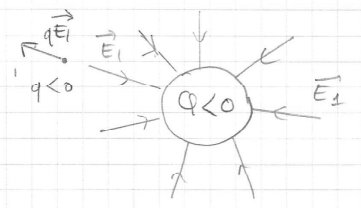
b) cf cours avec théorème de Gauss en symétrie sphérique  $\boxed{\vec{E}_1 = \frac{Q}{4\pi \epsilon_0 r^2} \vec{ur}}$

Si on compare les 2 figures :

Nombre de lignes de champ partant de la sphère vers des valeurs croissantes de  $r$  :  
 $Q=0$   $N=11$   
 $Q < 0$   $N=9$

L'accroissement de  $|Q|$  a donc tendance à redéfinir la portion de la sphère d'où partent les lignes de champ ( $\Delta_2 < \Delta_1$  sur la figure)

Comme les anions arrivent sur ces lignes de champs, l'accroissement de  $|Q|$  s'oppose à l'arrivée de nouveaux anions. Ceci était prévisible puisque le champ  $\vec{E}_1$  s'oppose à l'arrivée des anions



si  $Q=0$   $\vec{E}_1 = \vec{0}$   
si  $Q \neq 0$   $\vec{E}_1$  s'oppose à l'arrivée des anions (deux charges  $\leq 0$  se repoussent)

Calculons le champ électrique à la surface de la sphère

$$\begin{aligned}\vec{E}_t &= E \cos \theta \vec{u}_r - E \sin \theta \vec{u}_\theta + E \frac{\epsilon_r - 1}{\epsilon_r + 2} (2 \cos \theta \vec{u}_r + \sin \theta \vec{u}_\theta) + \frac{Q}{4\pi\epsilon_0 a^3} \vec{u}_r \\ &= \left[ E \cos \theta \left( 1 + 2 \frac{\epsilon_r - 1}{\epsilon_r + 2} \right) + \frac{Q}{4\pi\epsilon_0 a^3} \right] \vec{u}_r \\ &\quad - \left[ E \sin \theta \left( \frac{\epsilon_r - 1}{\epsilon_r + 2} - 1 \right) \right] \vec{u}_\theta\end{aligned}$$

Aucune ligne de champ ne part de la sphère si  $E_r \leq 0 \quad \forall \theta : \frac{\pi}{2} \rightarrow \pi$

$$\Leftrightarrow -E \cos \theta \left( 1 + 2 \frac{\epsilon_r - 1}{\epsilon_r + 2} \right) > \frac{Q}{4\pi\epsilon_0 a^3}$$

$$A \cos \theta > B \quad \forall \theta : \frac{\pi}{2} \rightarrow \pi$$

$$\Rightarrow \text{on doit donc avoir } +E \left( 1 + 2 \frac{\epsilon_r - 1}{\epsilon_r + 2} \right) > \frac{+Q}{4\pi\epsilon_0 a^3} \quad \text{car } \cos \theta < 0$$

$$\text{On en déduit } Q_{\text{lim}} : \Leftrightarrow Q < 4\pi\epsilon_0 a^3 E \left( 1 + 2 \frac{\epsilon_r - 1}{\epsilon_r + 2} \right)$$

$$Q_{\text{lim}} = 4\pi\epsilon_0 a^3 E \left( 1 + 2 \frac{\epsilon_r - 1}{\epsilon_r + 2} \right)$$

$$\text{d) AN} \quad Q_{\text{lim}} = -4\pi \times 8,85 \cdot 10^{-12} \times (1,0 \cdot 10^{-6})^2 \times 5 \cdot 10^5 \left( 1 + 2 \frac{10-1}{10+2} \right)$$

$$Q_{\text{lim}} = -1,4 \cdot 10^{-16} \text{ C} \quad Q_{\text{lim}} = -875 \text{ e}$$

IIA2

$$Q(t) = Q_{\text{lim}} \frac{t}{t + \tau_Q}$$

a)  $\tau_Q$  fonction de  $\epsilon_0, b, |p|$ .

$$\text{On a vu dans IB} \quad [e] = \frac{[i]}{[b][L]^2} \quad \text{or} \quad [E] = \frac{[q]}{[\epsilon][L^2]}$$

$$\Rightarrow [e] = \frac{[i][\epsilon_0]}{[b][q]} = \left[ \frac{\epsilon_0}{b} \right] \cdot \frac{1}{T}$$

$$\text{D'au} \quad \tau_Q = \frac{\epsilon_0}{b|p|} \quad \text{et} \quad \tau_Q = \frac{4\epsilon_0}{b|p|}$$

$$\text{b) } Q(t_{90}) = 0,9 Q_{\text{lim}} = Q_{\text{lim}} \frac{t_{90}}{t_{90} + \tau_Q} \Rightarrow \underline{t_{90} = 9 \tau_Q = \frac{36 \epsilon_0}{b|p|}}$$

$$\text{AN} \quad t_{90} = 3,6 \times 8,85 \cdot 10^{-12} \times \frac{1}{3,11 \cdot 10^{-4} \times 5,0 \cdot 10^{-5}} = 2,0 \cdot 10^{-2} \text{ s} = \underline{20 \text{ ms}}$$

c) Temps mis par la fumée pour traverser  $\tau = \frac{L}{u_0}$

$$\tau = \frac{10 \text{ s}}{1} \gg t_{90}$$

Les grains de poussière ont le temps d'atteindre leur charge limite largement.

IB

On associe à la particule la vitesse  $\vec{v}_R(t) = \vec{u}_0 + \vec{w}$

Ordre de grandeur du nombre de Reynolds associé à l'écoulement d'air autour de la particule (avec  $w$  vitesse relative de la poussière par rapport à l'air)

$$Re = \frac{\rho_{\text{air}} w a}{\eta_{\text{air}}}$$

Hyp:  $Re \ll 1 \Rightarrow$  on peut appliquer la formule de Stokes

$$\vec{f} = -6\pi\eta a \vec{v}_R = \boxed{-6\pi\eta a \vec{w}}$$

TOR appliquée à la particule dans le ref. des électrodes galiléennes :

$$m \frac{d}{dt} (u_0 \vec{e}_r + \vec{w}) = q E \vec{u}_y - 6\pi\eta a \vec{w}$$

$$\Leftrightarrow m \frac{d\vec{w}}{dt} = q E \vec{u}_y - 6\pi\eta a \vec{w}$$

On en déduit que la particule atteint une vitesse limite  $\vec{w}_{\text{lim}} = \frac{q E \vec{u}_y}{6\pi\eta_{\text{air}} a}$

$$\text{ANS: } w_{lm} = \frac{1,4 \cdot 10^{-16} \times 5 \cdot 10^5}{6\pi \times 2,4 \cdot 10^{-5} \times 1,0 \cdot 10^{-6}} = \underline{0,15 \text{ m/s}}$$

(9)

On calcule a posteriori  $Re = \frac{0,15 \times 2 \cdot 10^{-6}}{2,4 \cdot 10^{-5}} = \underline{1 \cdot 10^{-2}} \ll 1$

Cette valeur numérique justifie a posteriori l'utilisation de la formule de Stokes (cf courbe de  $C_x$  en fctn de  $Re$  donnée à la fin du syst)

IIc  $\eta = 1 - \frac{C_2}{C_1}$

\* Nombre de Reynolds associé à l'écoulement de la fumée dans le dispositif

$$Re = \frac{\rho_{air} v_0 \cdot 2s}{\eta_{air}} \quad \text{AN } Re = \frac{300 \cdot 10^{-3}}{2 \cdot 10^{-5}} \approx \underline{1 \cdot 10^4}, \text{ ce qui}$$

permet de justifier le caractère turbulent de l'écoulement.

IIc 2)

a)  $dN = [c(x)u_0 A - c(x+\Delta x)u_0 A] dt = \boxed{u_0 A dt [c(x) - c(x+\Delta x)]}$

b) volume cherché  $dV = w dt P \Delta x$  Nombre associé:  $\boxed{w dt P \Delta x c(x)}$

c) d'où  $u_0 A dt c(x) = u_0 A dt c(x+\Delta x) + w dt P \Delta x c(x)$   
 $\Rightarrow -u_0 A \frac{dc(x)}{dx} \Delta x = w P \Delta x c(x)$

$$\Leftrightarrow \boxed{\frac{dc}{dx} = -\frac{wP}{Au_0} cx}$$

d)  $\eta = 1 - \frac{c(L)}{c(0)}$  or  $c(x) = c(0) e^{-\frac{x}{S}}$  avec  $S = \frac{Au_0}{wP} = \frac{2sP u_0}{w2h}$

$$\Rightarrow \boxed{\eta = 1 - e^{-\frac{L}{S}}} \quad \text{avec } \boxed{S = \frac{Su_0}{w}}$$

ANS:  $S = \frac{150 \cdot 10^{-3} \times 1}{0,15} = \underline{1,0 \text{ m}}$

$\eta = 1 - e^{-\frac{10}{1}} = \underline{99,99\% \approx 100\%}$

(10)

IIc3

a)  $l \approx 10^{-7} \text{ m}$

dans l'approximation des milieux continus, taille particule fluide  $\Rightarrow l$

Pour les très petites particules, cette approximation est mise à défaut.

b) on avait calculé  $w_{lm} = \frac{\Phi EI}{3\pi \eta_{air} \cdot d}$   $w_{lm} \propto d^{-1}$  pour  $d \approx 1 \mu\text{m}$

On ne retrouve pas cette évolution sur la figure.

Dans les installations industrielles, les poussières n'ont pas forcément toutes la même taille et les mêmes propriétés.

c)  $\eta = 1 - e^{-\frac{w' A_c}{D_V}}$  avec  $D_V = v_0 A$   $A_c = PL$  or  $k=1$

$$\eta = 1 - e^{-\frac{w' PL}{v_0 2sh}} = 1 - e^{-\frac{w' L}{u_0 s}} = \underline{1 - e^{-\frac{L}{S}}}$$
, même résultat qu'avant.

Alors pour  $w'$ , on devrait avoir  $\boxed{w' = w}$ .

d)  $\eta = 1 - \exp\left(-\left(\frac{w' L}{u_0 s}\right)^k\right)$

ANS  $\eta = 1 - \exp\left[-\sqrt{\frac{0,12 \times 10}{4 \times 150 \cdot 10^{-3}}}\right] = \underline{94\%}$

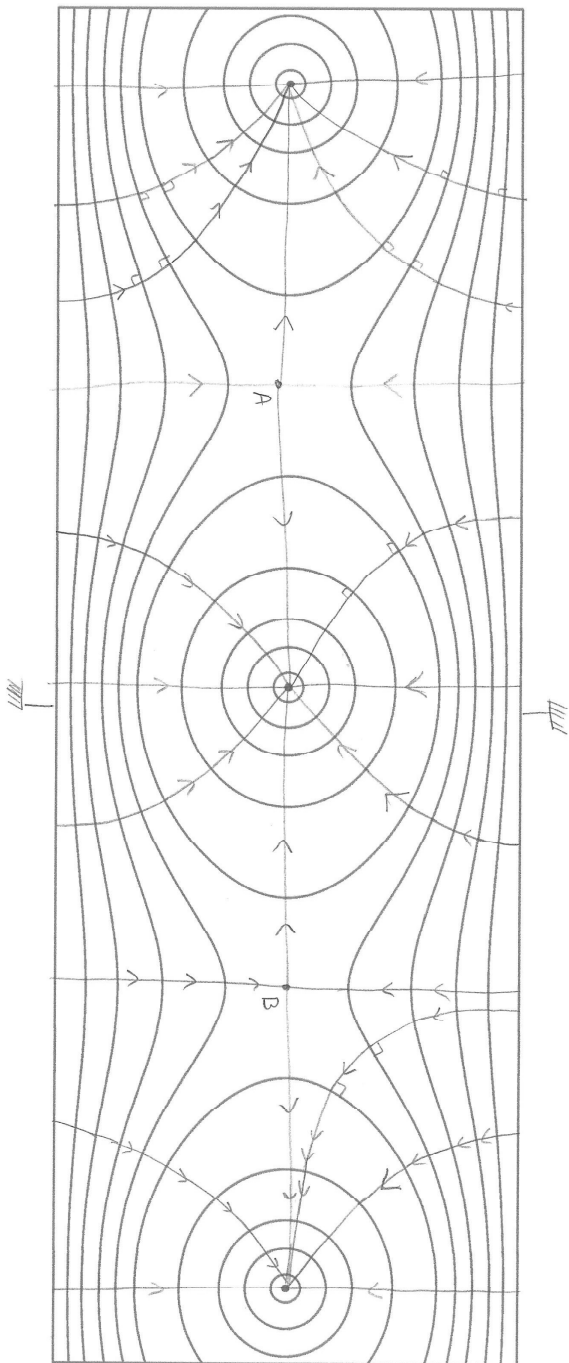


Figure B Carte des équipotentielle dans un électrofiltre sec



Numéro de place

Numéro d'inscription

Signature

Nom

Prénom

CONCOURS CENTRALE-SUPÉLEC

Épreuve : Physique-chimie 1 PSI

Ne rien porter sur cette feuille avant d'avoir complètement rempli l'entête

Feuille

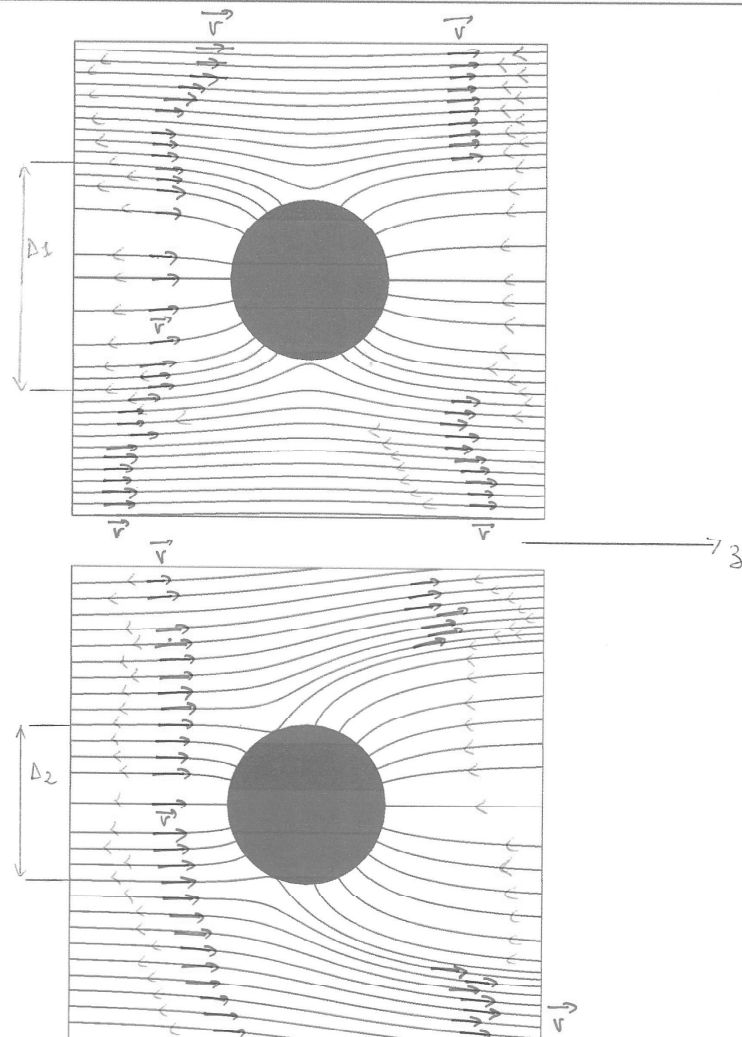
 / 


Figure A Lignes de champ autour d'un grain de poussière pour  $Q = 0$  (en haut) et pour  $Q < 0$  (en bas)